

III-55 岩盤斜面における初期応力について

名古屋大学 正員 川本 肇
道路公団 正員。高橋 由行

I. まえがき： 岩盤斜面の問題には、自重作用のみをうける自由斜面や、アーチダム等との推力とうける斜面などの安全問題が考えられる。前者に対する岩盤材料の強度低下による、後者に対する荷重増加による安全性の意義が行なわれた（）。（）は自由斜面を考えた。断層や卓越した割れ目を有する岩盤では、それに沿つてすべり破壊強度が問題となる。すべり割れ岩盤でも相似性と考えられる場合で、岩盤のせん断強度が関係してくれる。最近の2、3の研究では、斜面の上部端近傍にすべりなく、斜面下部の深さ位置まで滑動力が発生することが確められて（）、その場合に（）滑動力が問題にならなくなる。これら、岩盤の強度は地山の地質学的要素に依存するとされるのが多く、地山内部の応力状態や岩盤の風化度密度による強度変形特性を考慮して、初期応力状態の変化する様子を示す。

（）は、若干等方等傾の斜面に対する Finite Element Method による計算プログラムを完成し、斜面の傾斜角と応力状態との関係を明らかとすると共に、直角に要素の弾性性質を変化するなどにより、斜面表面からの風化度密度による强度変形特性を考慮して、初期応力状態の変化する様子を示す。

II. Finite Element Method (FEM)¹⁾ の斜面への適用： FEM は、2 次元および 3 次元構造物の応力および変形を求めるために、一般の構造物の解析に用いられる行列法と一般化したものであって、大容量の電子計算機の発達と相まって発展させられたものである。最近、軽量実験的手法としての FEM の斜面の問題にも適用されて（）

（）によると、Lian-Finn は斜面の静的および動的応力と二の方法によって解析している。彼は水平分地表以下の応力分布 ($\sigma_y = 8y$, $\sigma_x = 28y$, $T_{xy} = 0$) と、斜面よりの自由表面に沿つて下の水平面にかけた初期応力分布の連続性のものと、2つの応力状態を重ね合わせている。この 2 つは側圧係数を仮定しているが、斜面の自重による応力状態を直接求めている。

FEM は、無限の自由度をもつた弹性体などを有限の自由度しかもたない要素に分割し、有限個の節点のみ結合された要素の集合体を考えること、要素の stiffness を確立すること、および、個々の要素の集合体として理想化された構造物を解くこと、よりなりにつなぐ。要素の弹性性質は節点に作用してくる力と、それによる変位との関係によって表わされ、この関係は要素の stiffness matrix によって表現されることは累積的とかいう。

図-1 の（）に斜面を三角形要素に分割し、各要素、stiffness matrix と R^e とすと、各要素の3つの節点、それから x 、 y 方向の 2 自由度、変形からから、これと R^e に対し、最大各節点における内力を F^e で示すと、

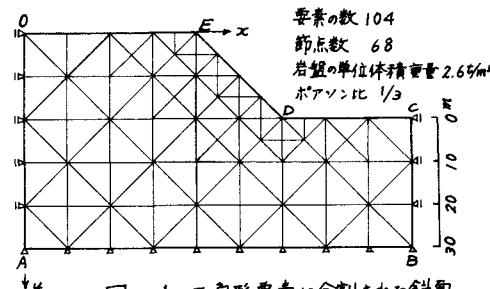


図-1 三角形要素（分割された斜面）

$$F^e = K^e \cdot r^e \quad (1)$$

がえらば。 $\Sigma = \Sigma K^e$ は 6×6 領域の行列で表わされる。いま要素 A_1, A_2, \dots, A_n が斜面を構成したとき、全体の約合方程式は次式。

$$R = K \cdot r \quad (2)$$

これを和す。 $\Sigma = \Sigma R$, r はそれが荷重ベクトルおよび変位ベクトルである。また

$$K = \sum K^e \quad (3)$$

したがって、外力 R がえらばれると、境界における変位がえらばれれば、要素全体の stiffness matrix

が求まる；容易に各節点変位が求められ、さらに各要素の応力が、各要素接続行列 C を用いて求められる。すなはち、 $\sigma = C \cdot r \quad (4)$

いま、斜面の高さは 20 m , 岩盤の単位体積重量を 2.6 t/m^3 , 土質比を $1/3$ とし、斜面の傾斜角を $\theta = 30^\circ, 45^\circ, 60^\circ, 90^\circ$ の場合を考へ、境界 OA, BC における下水平方向の変位が、境界 AB においては鉛直不透水性方向変位が拘束されると仮定した。斜面の応力解析のプロセスは、東京大学大型計算センターの HITAC 5020 E にて行なわれた、節点数 100, 要素数 155 程度までの計算が可能であるが、 $\Sigma = \Sigma R$ は平均、節点数 71, 要素数 109 が用いられた。 45° グラムは主に以下の 3 つが部分から成り立つこと。すなはち、a) stiffness matrix および r load matrix の作成、b) 連立方程式 $R = K \cdot r$ ととくこと、c) 节点変位から応力を計算すること、である。この計算では斜面の変形状態と同時に小めの二点が取扱はれ、 45° の応力状態のみを検討した。

III 解析結果：1 図と 1 斜面の傾斜角が $\theta = 45^\circ$ の場合の主応力の状態を図-2 に示す。 θ の値が変わると、とくにひき裂の近傍では応力の状態が変化するが、いずれの場合も、斜面上部あたりのひき裂部分では引張応力を生じ、後者の部分では斜面の内部からより深いところでは引張応力を生じるが、このことはとくに注目すべき現象である。今後さらに検討すべき問題である。傾斜角とひき裂応力の大きさおよびその生ずる範囲が検討され、ひき裂部分の谷への侵蝕が考察された。³⁾ Scheiblauer³⁾ セーラン模型によれば、斜面応力の実験的解析によると、直斜面の下部 $1/3$ の土は $3:1$ 最大せん断応力を生じ、また小まき方の主応力が引張りになることを応力状態が生ずると、結果がえられた。

他斜面応力状態に対する効果や、斜面表面からの変動に応じて弹性係数の低下、土質比の増加を考慮した斜面モデルに対する計算結果と現在整理中であるが、講演会当日報告する。

1) R.W. Clough : Proc. 2nd ASCE Conf. on Electronic Computation, Pittsburgh, 1960.

2) W.D. Liam Finn : Proc. 1st Congress of the International Society of Rock Mech. Vol.II (1968) 167.

3) J. Scheiblauer : Rock Mechanics and Engineering Geology, 1-1 (1963), 72.

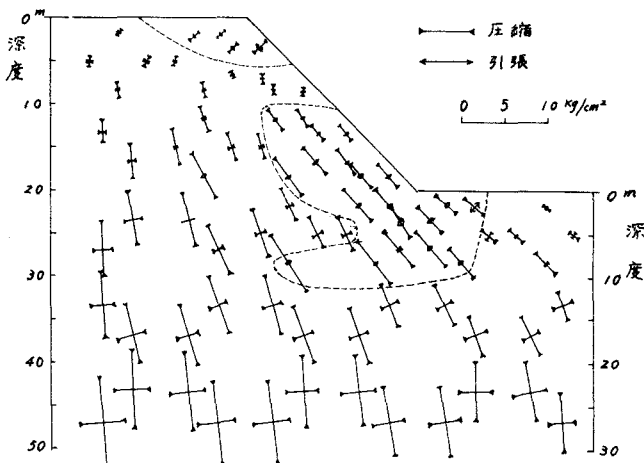


図-2 $\theta = 45^\circ$ の場合の主応力